

山口大学 正員 蒲地政文
 山口大学 正員 羽田野袈裟義
 山口大学 正員 斎藤 隆

海洋構造物に作用する波力の正確な算定の為に、従来振動流中の物体に作用する流体力について多くの研究がなされてきている。本研究は、特に流体力の最大値に着目して考察したものである。

実験は開口U字型の振動流装置を用いて行なった。実験円柱は直径が5cmで厚さが19.8mmのアクリル製であり、テストセクション中央部に直径4mmのしんちゅう棒で固定されている。流体力は、しんちゅう棒に貼付された歪ゲージを用いて測定された。

従来、流体力、特に直方向力の算定式としてMorison式

$$F_x = \frac{1}{2} \rho D L C_D U |U| + \rho A L C_M \frac{dU}{dt}, \quad (1)$$

ここに、 $A = \pi D^2 / 4$ 、Dは円柱径、Lは長さ、Uは流速、 ρ は流体の密度、が提案されており、その係数が多くの研究によって評価されてきている。今回の実験で得られた係数の値をKC数 ($K = U_m T / D$) に対して描いたものが図1、2である。両図中には、Sarpkaya (1975) の実験結果(平均値)も示してある。両係数の散らばりは、KC数が小さくなるにつれて、大きくなっている。これは従来云われている、1周期内に残存する剥離渦による揚力が卓越していると思われる。

さて、次にモリソン式から得られる最大直方向力について調べる。式(1)に $U = U_m \sin(\omega t)$ を代入して、符号に注意して最大値を求める。

$$\dot{F}_{x\max} = F_{x\max} / (\frac{1}{2} \rho U_m^2 D L), \quad (2)$$

$$= \begin{cases} 2C_D/R_*, & R_* \leq 1, \\ C_D(1+1/R_*), & R_* \geq 1, \end{cases} \quad (3)$$

$$= \begin{cases} C_D(1+1/R_*), & R_* \geq 1, \end{cases} \quad (4)$$

ここで、 $R_* = 2C_D K / (\pi^2 C_M)$ 、であり、モリソン式の第1項と第2項の絶対値の比を表す。係数CD、CMとKC数により直方向力の最大値は2通りある。すなわち直方向力は、最大値として上式で評価すればよいと考えられる。しかしながら、上式には R_* の条件があるため、その適用について検討する必要がある。そのため、最大流速と最大直方向力の位相関係に着目する。位相差を ϵ とすると、流速の式とモリソン式とから、 $\epsilon = \sin^{-1}(1/R_*)$ と求まる。上式から、最

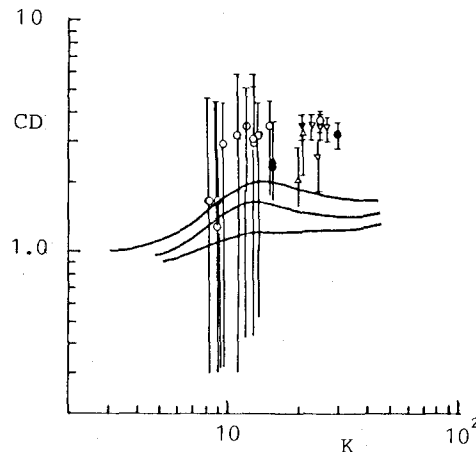


図1 抗力係数とKC数の関係

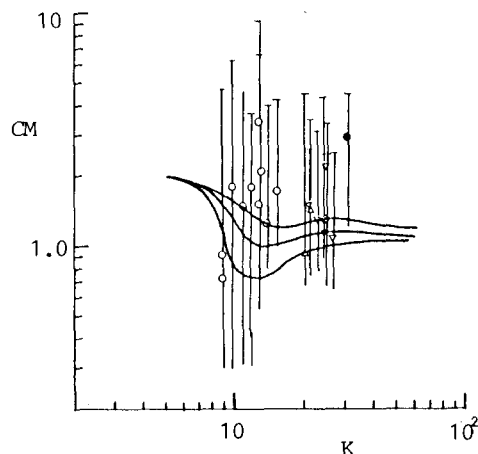


図2 質量係数とKC数の関係

大流速と最大直方向力との位相差は π 以下であることがわかる。これは、最大の正の流速のときに逆向きの最大の直方向力は発生しないことを表している。さらに、上式から $R_* \geq 1$ でなければならない。従来直方向力の最大値には 2 つの値があることが報告されてきたが、この位相関係から、1 つの値（式（4））しか存在しないことがわかる。以上の事を調べるために、 R_* の実験値を KC 数に対してプロットしたものが図 3 である。図から、全ての実験値に対して $R_* \geq 1$ であることがわかる。

最後に、式（4）と実験値から得られた最大直方向力と、合成流体力とを比較したものが図 4 である。KC 数が、15 以上の場合には、最大直方向力の値を流体力として評価すればよい。しかしながら、KC 数が 15 以下の場合には、最大直方向力だけでは不十分である。

そのため、合成流体力の評価を行なう。直方向力はモリソン式の振動特性と考えてよい。可視化実験の結果から、剥離渦が主流の振動流と同じ周期で円柱側方を動いて、揚力が発生する。そのことから、合成流体力に関しては、モリソン式（1）と同じ形式にして、それぞれの係数を調べる。合成流体力の抗力係数を C_{DS} 、質量係数を C_{MS} 、とおき、それらの値を KC 数に対してプロットしたものが、図 5、6 である。図から、KC 数が大きい場合には、両係数は直方向力の両係数にそれぞれほとんど等しくなり、モリソン式で流体力を評価すればよい。一方、KC 数が小さい場合には、モリソン式の係数ではなく、図 5、6 の係数を用いて流体力を評価すればよいと考えられる。

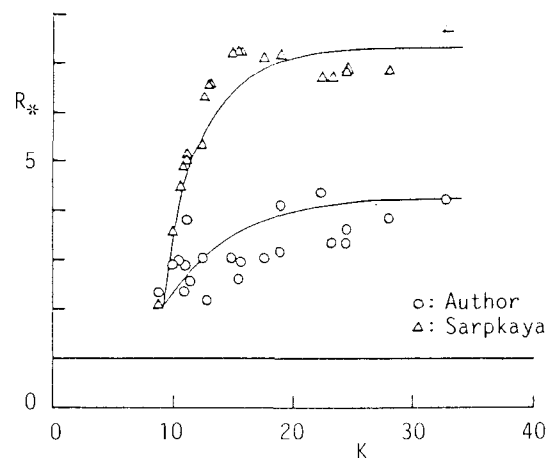


図 3 R_* と KC 数の関係

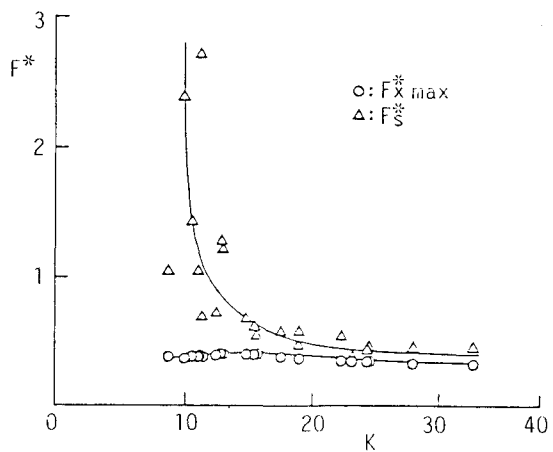


図 4 F_* と KC 数の関係

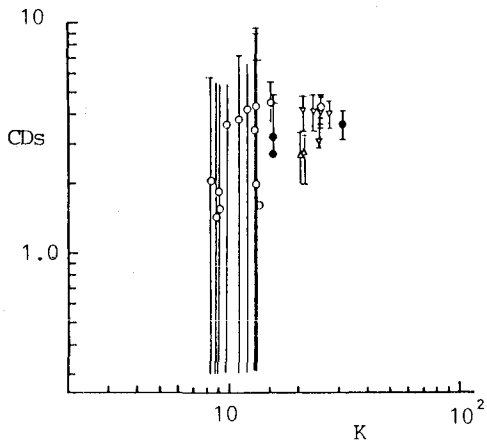


図 5 合成流体力の抗力係数と KC 数の関係

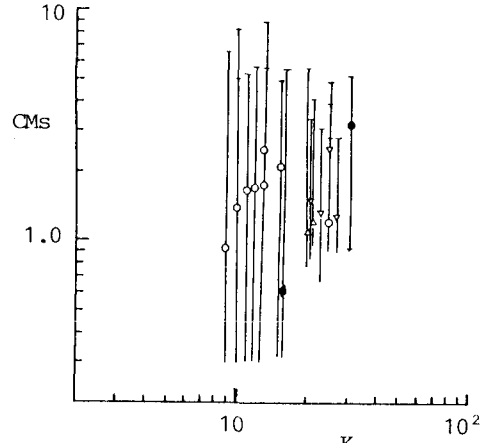


図 6 合成流体力の質量係数と KC 数の関係